

Fig. 2d

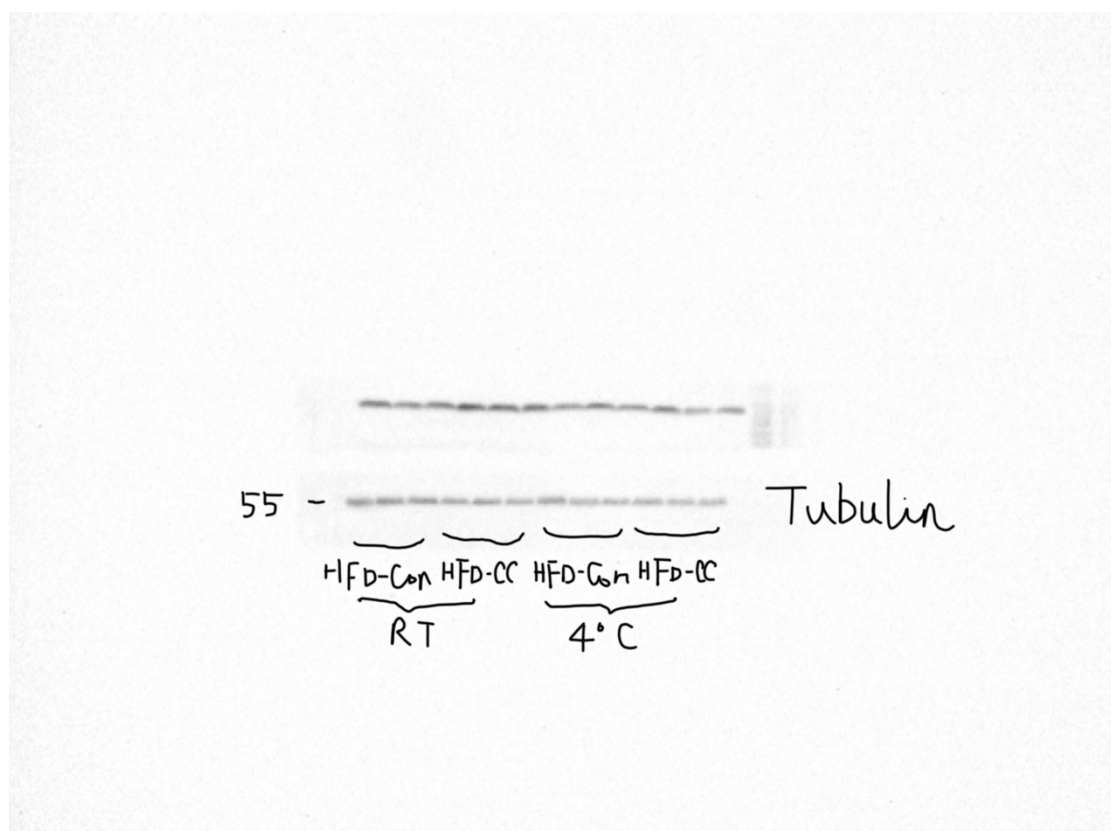
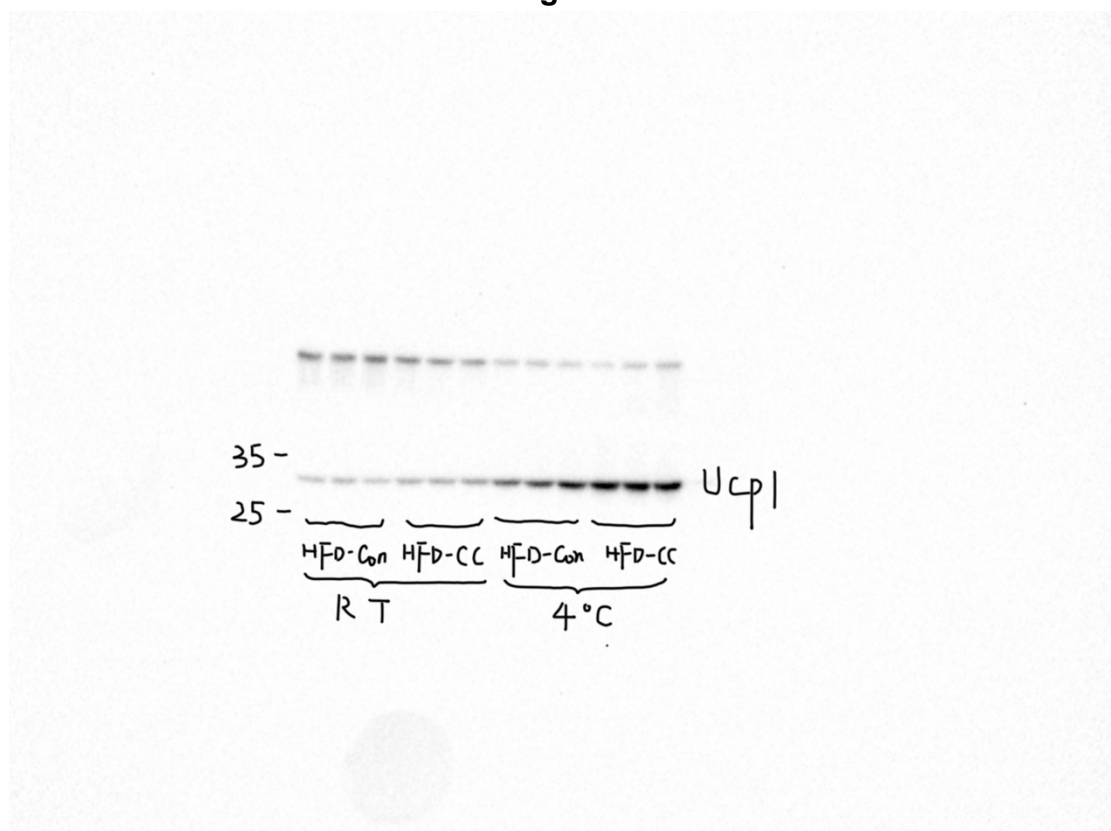


Fig. 2f

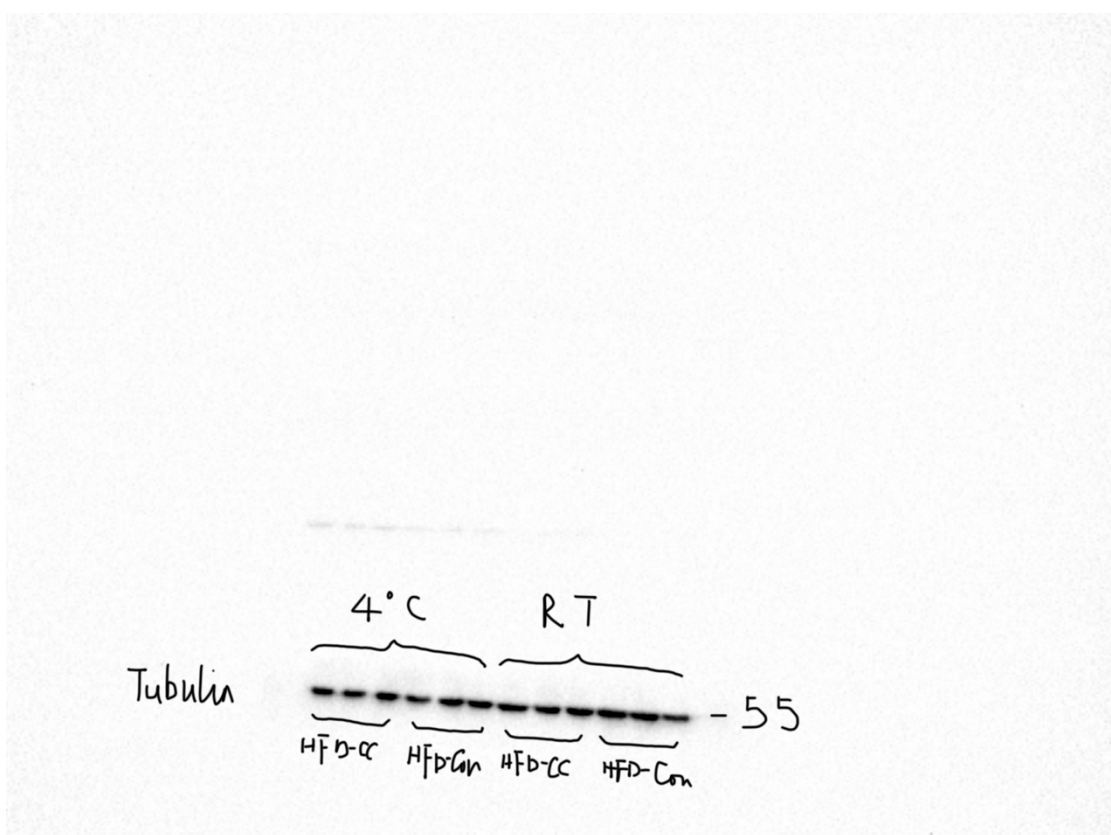
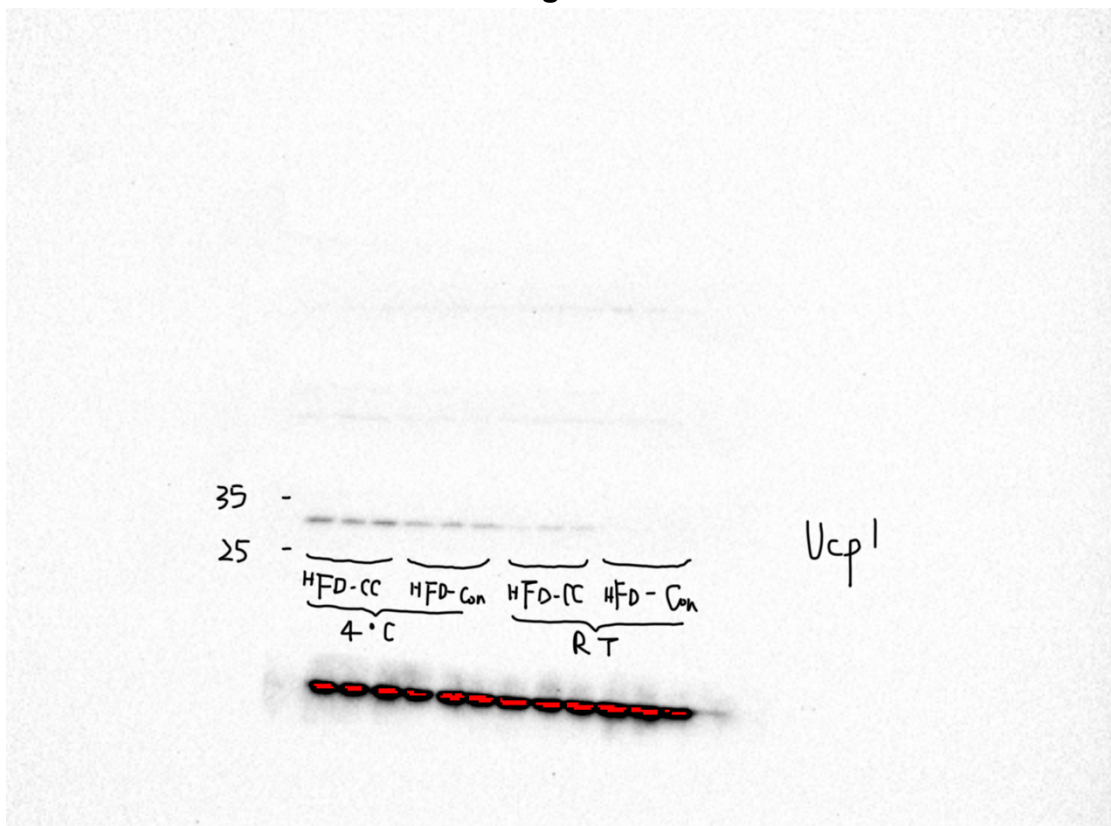
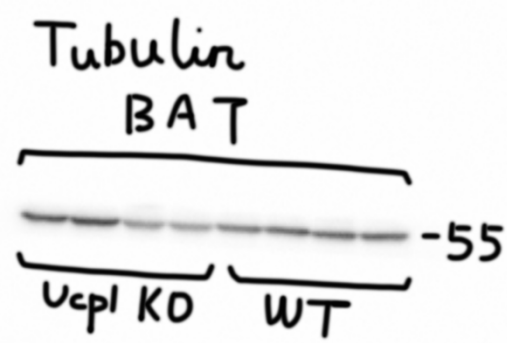
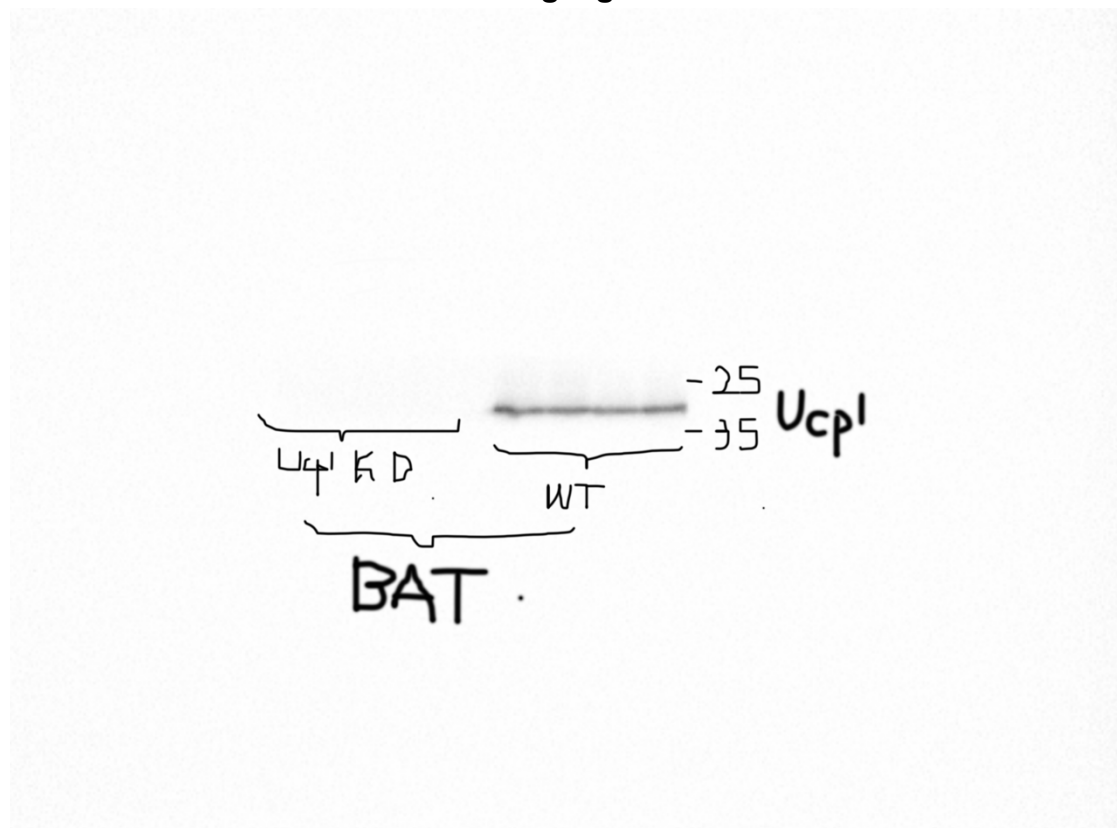
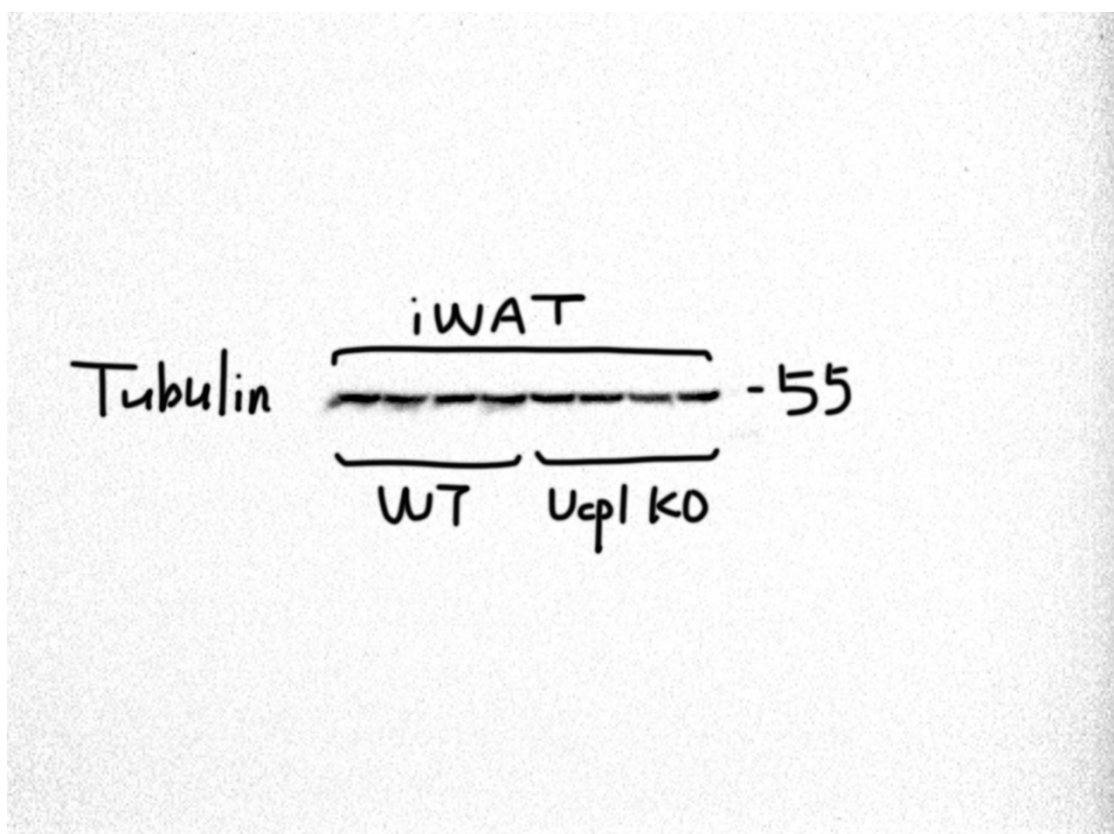
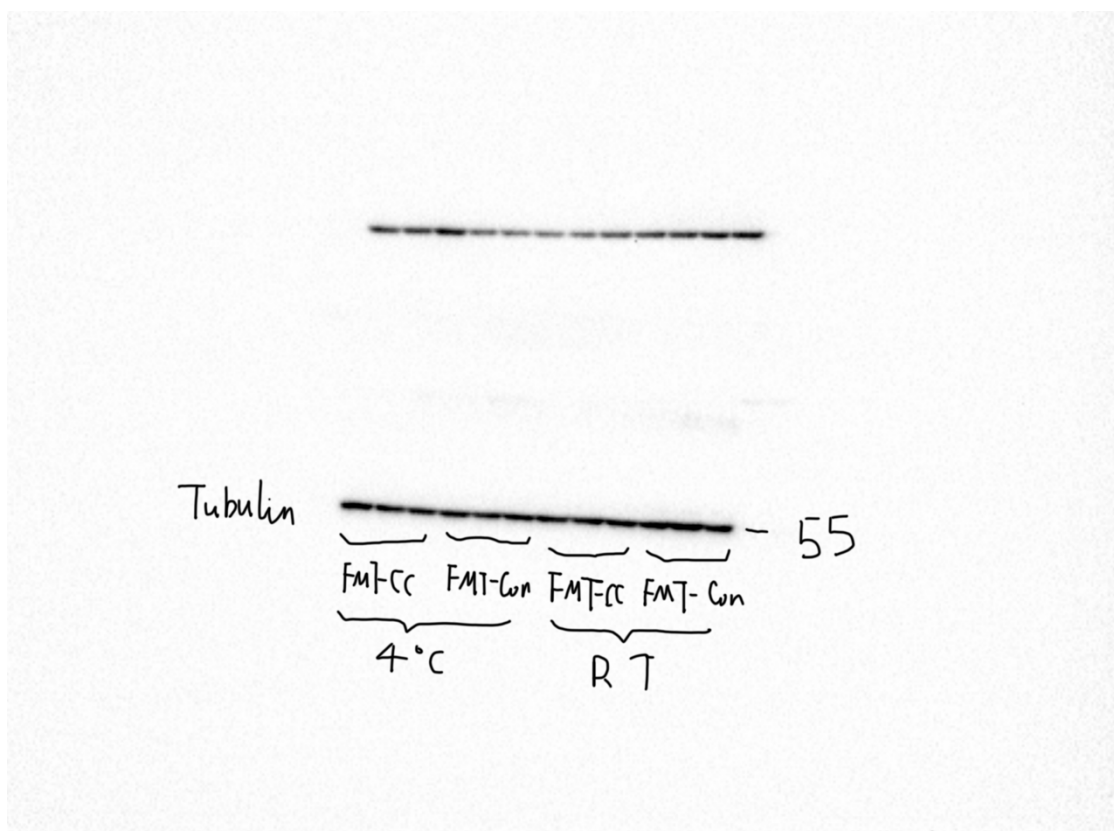
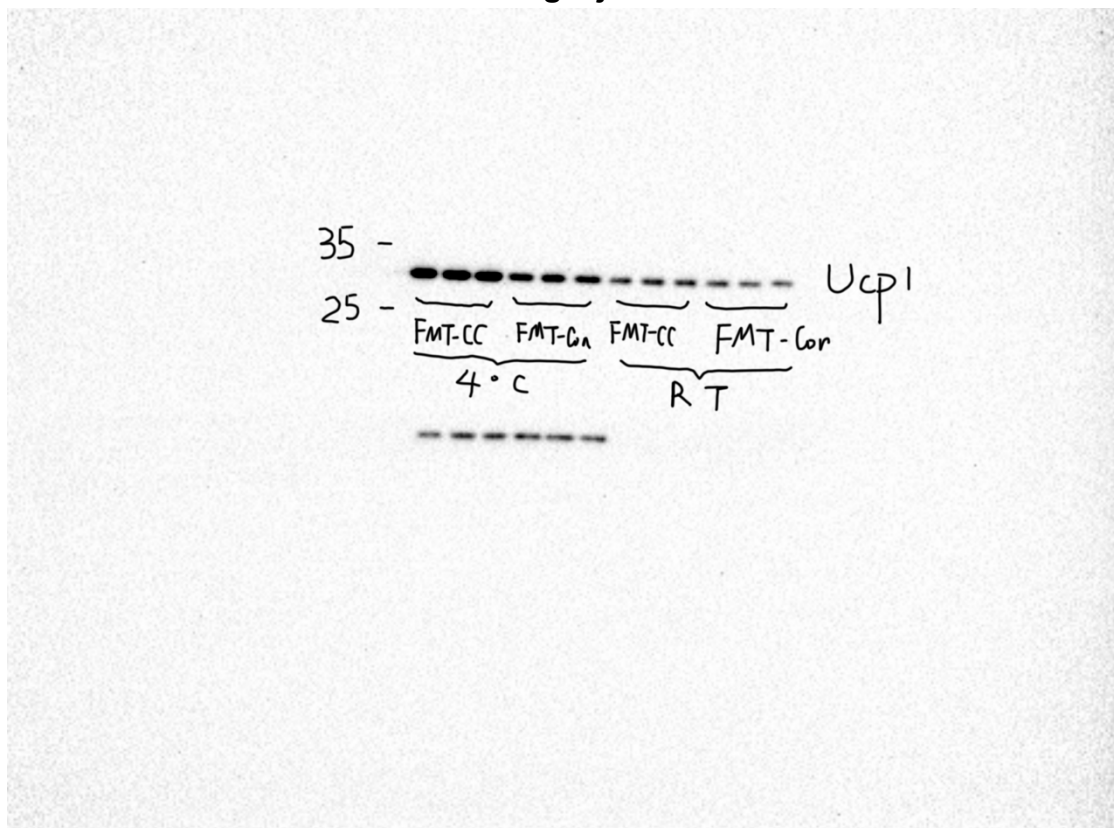


Fig. 2g

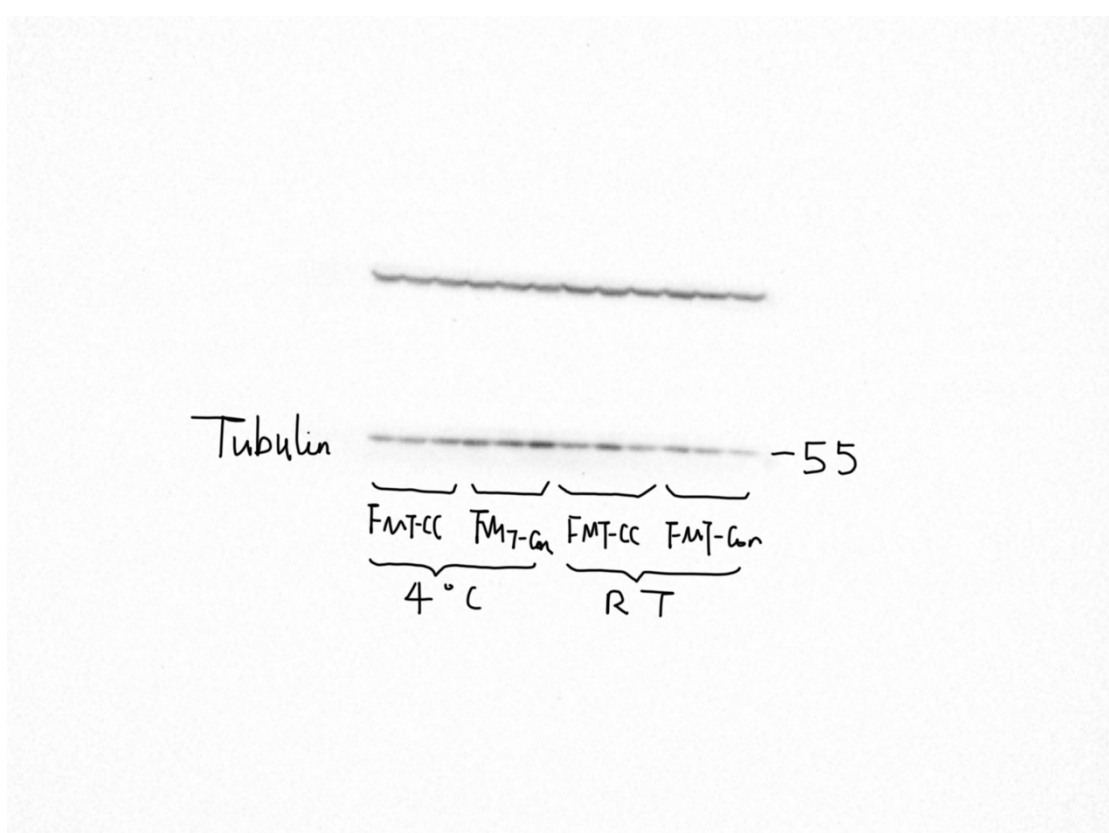
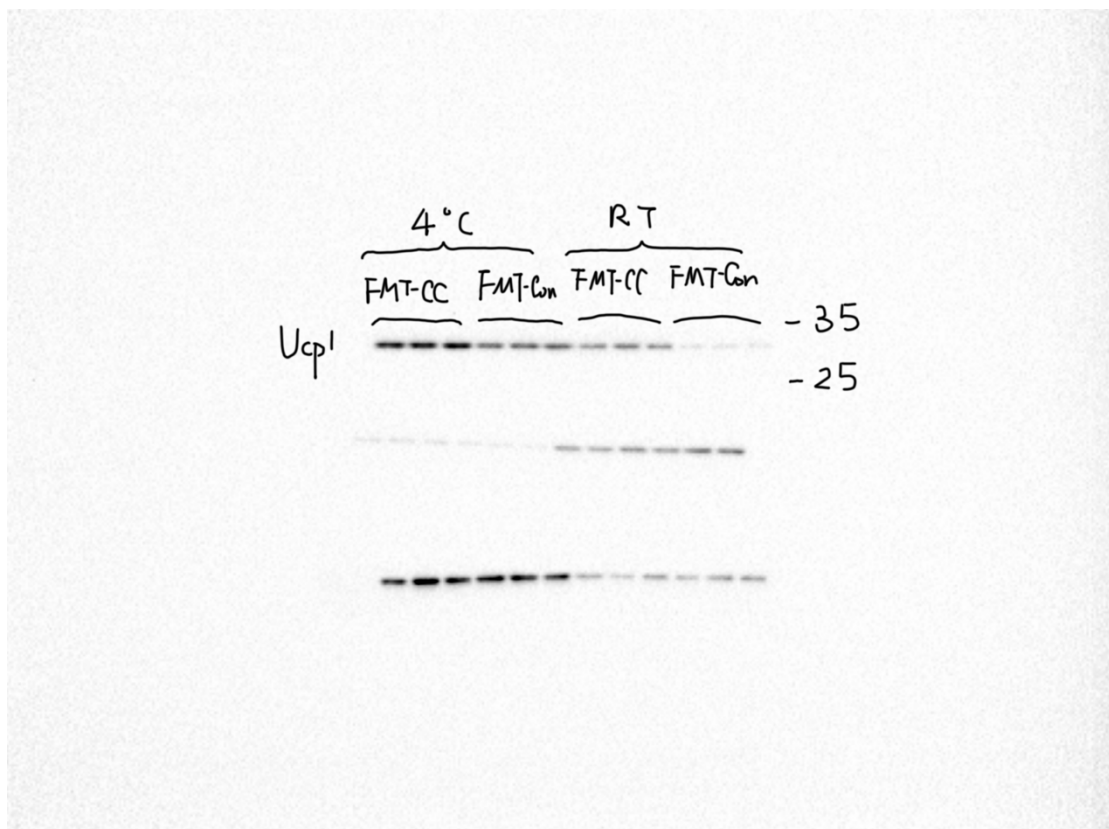




**Fig. 4j**



**Fig. 4l**



**Fig. 5c**

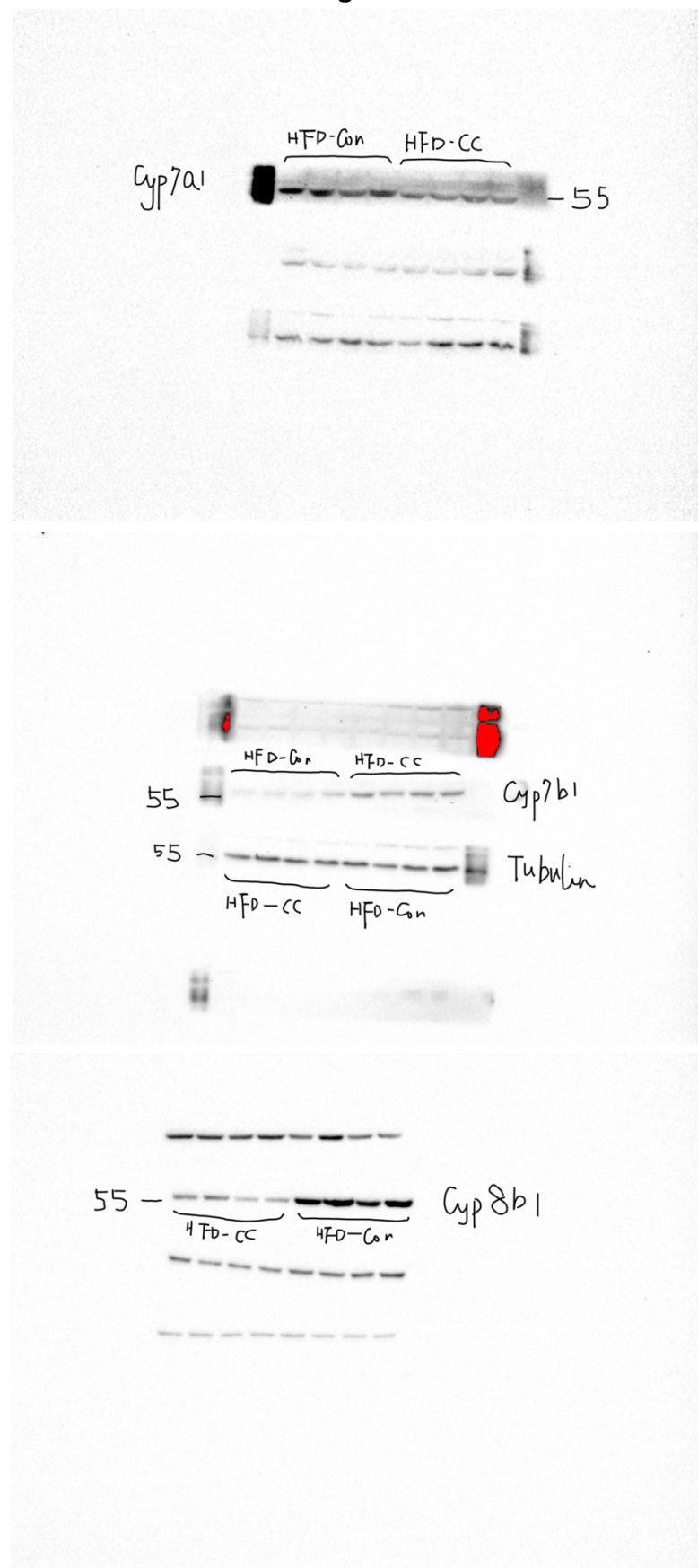
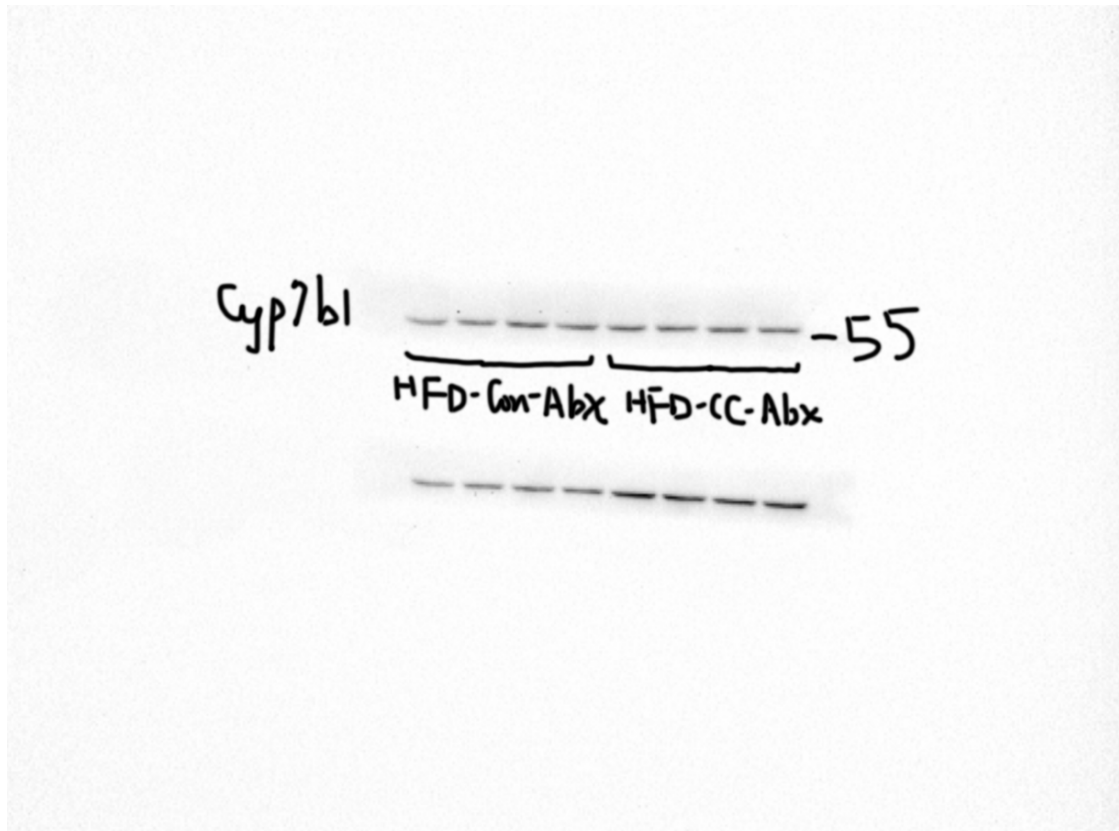
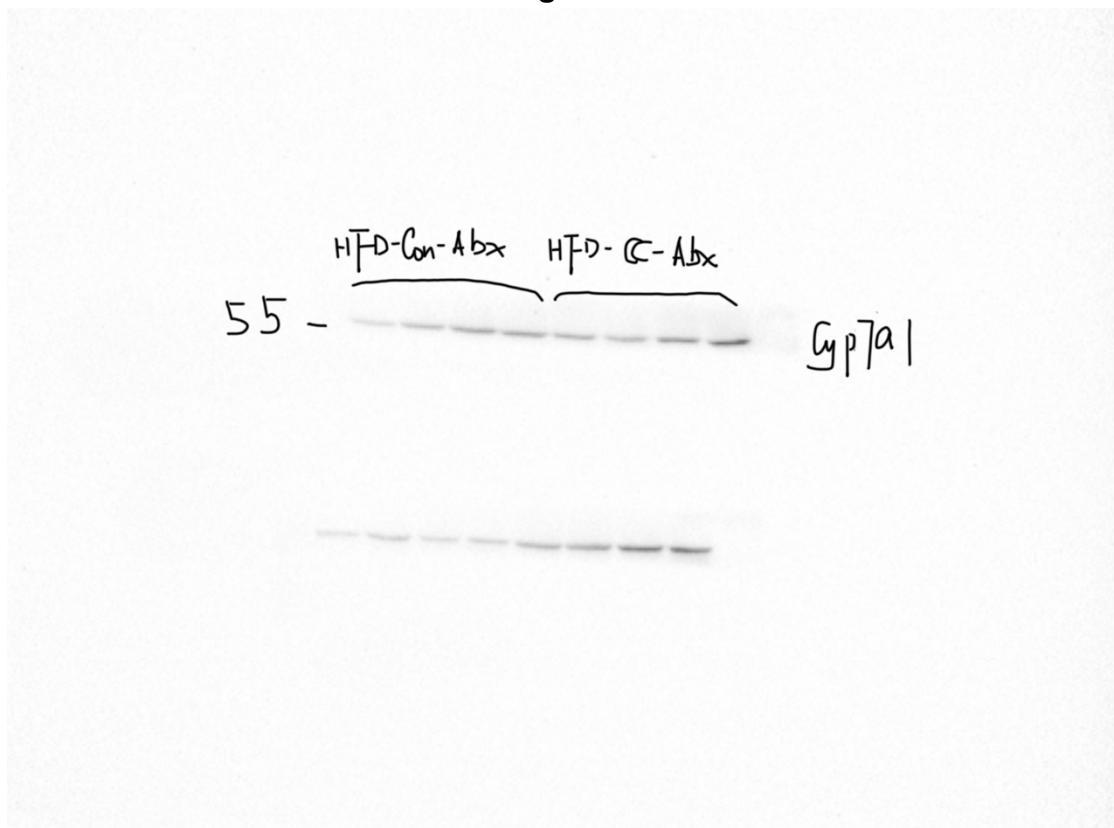


Fig. 5d



Cyp8b1

HFD-Con-Abx    HFD-CC-Abx

-55

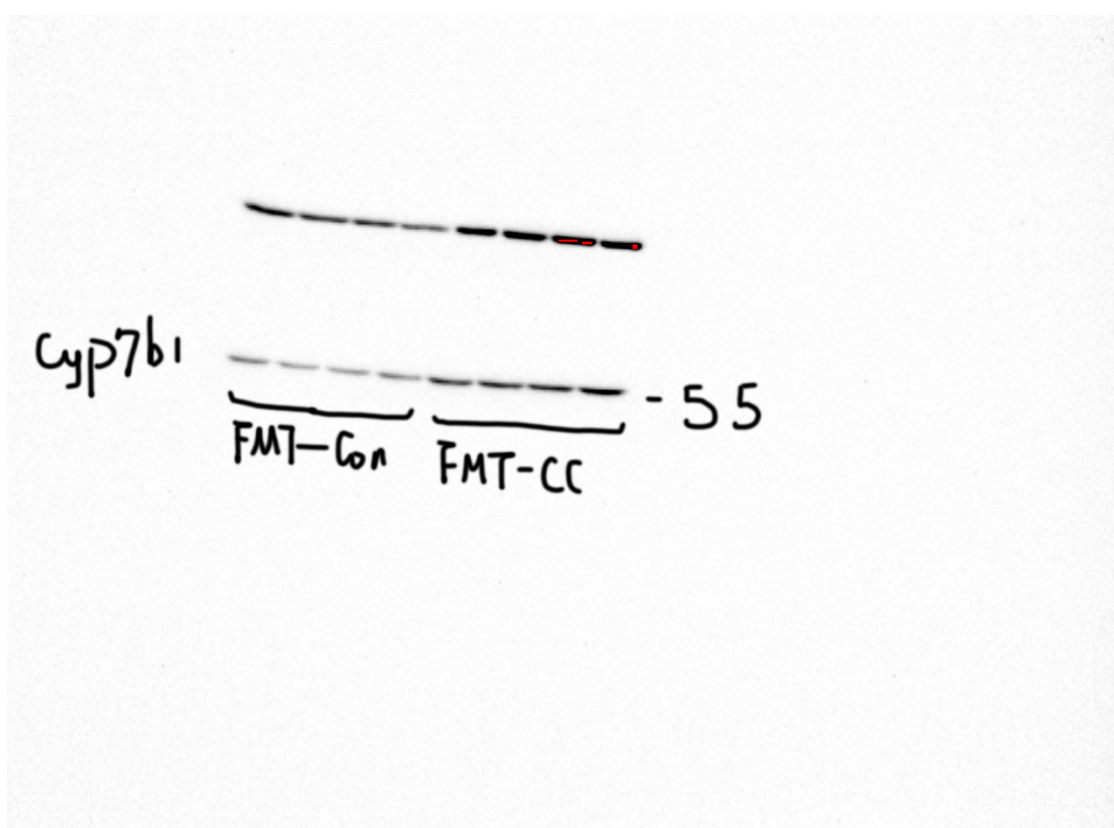
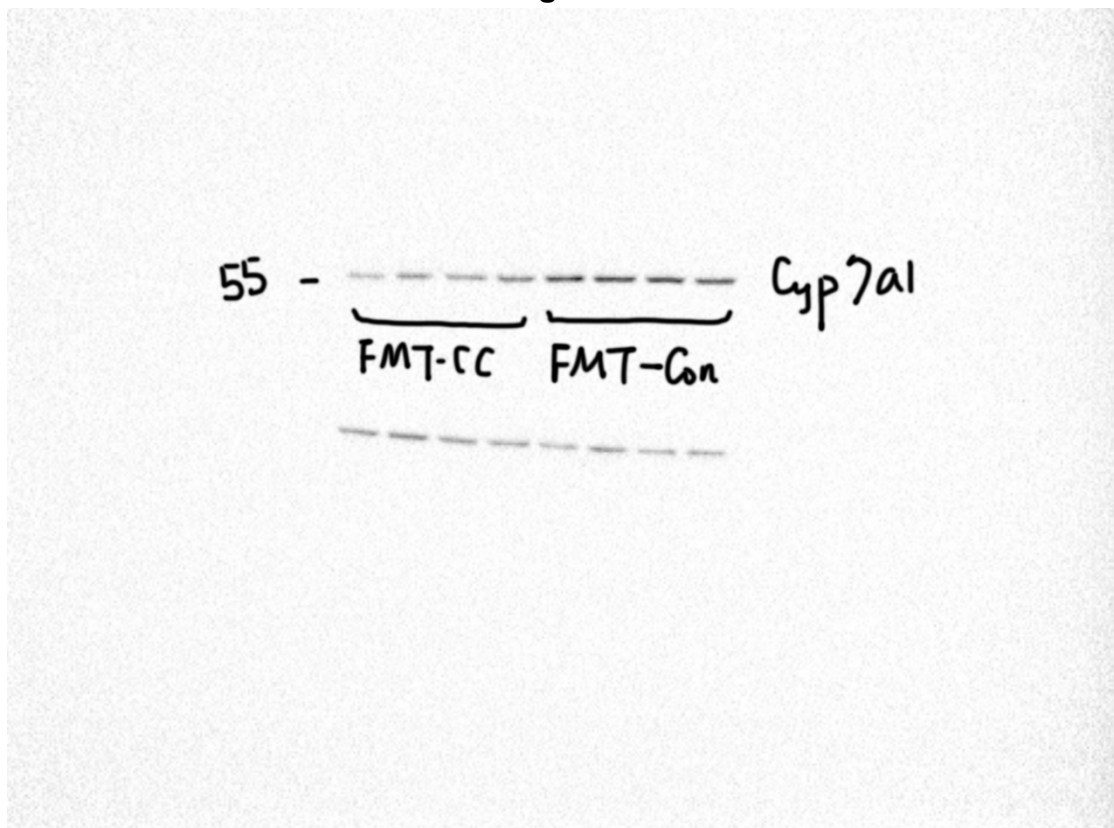
-----

55 -

HFD-Con-Abx    HFD-CC-Abx

Tubulin

Fig. 5e

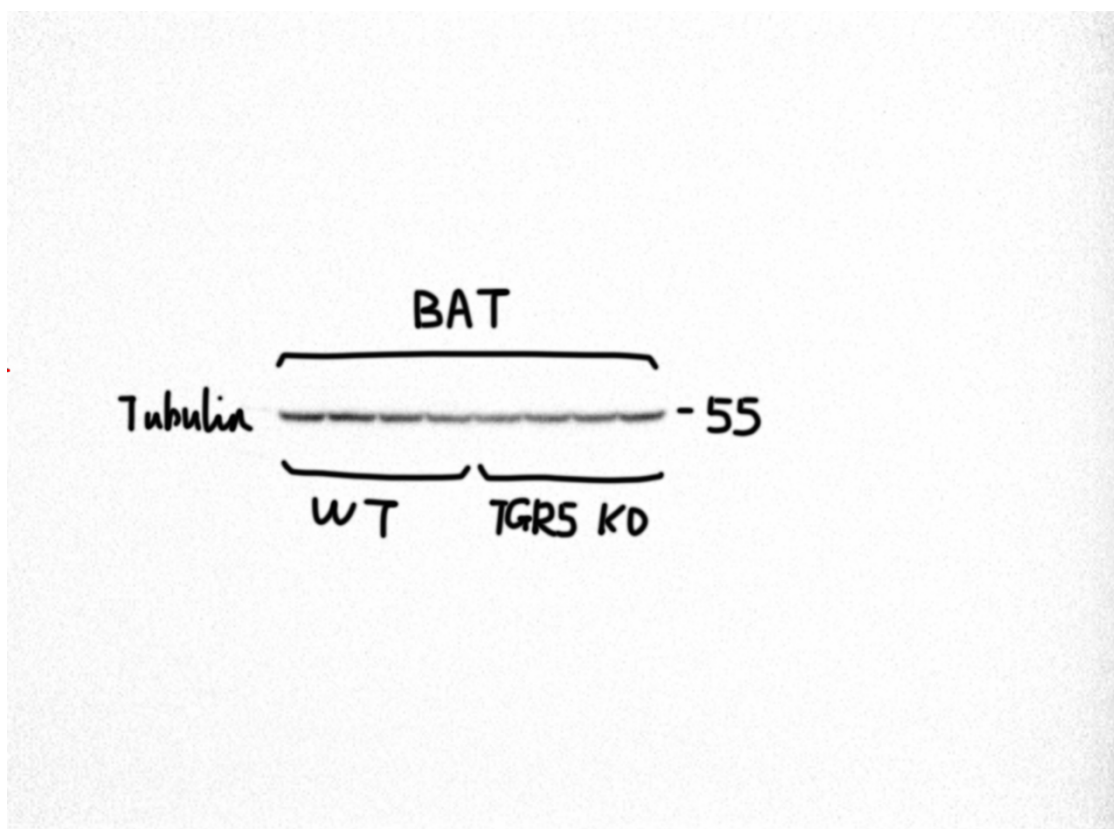
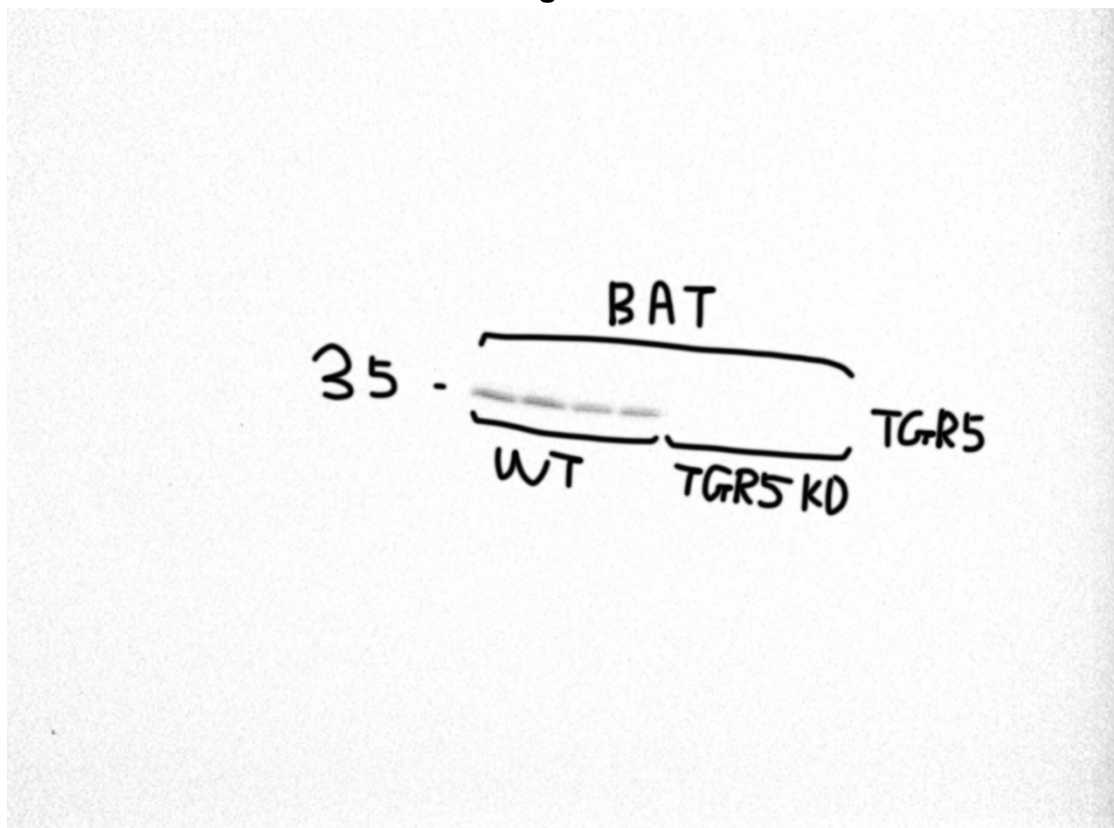


Cyp $\delta\delta$ 1

FMT-CC FMT-Con - 55

Tubulin FMT-Con FMT-CC - 55

Fig. 6a



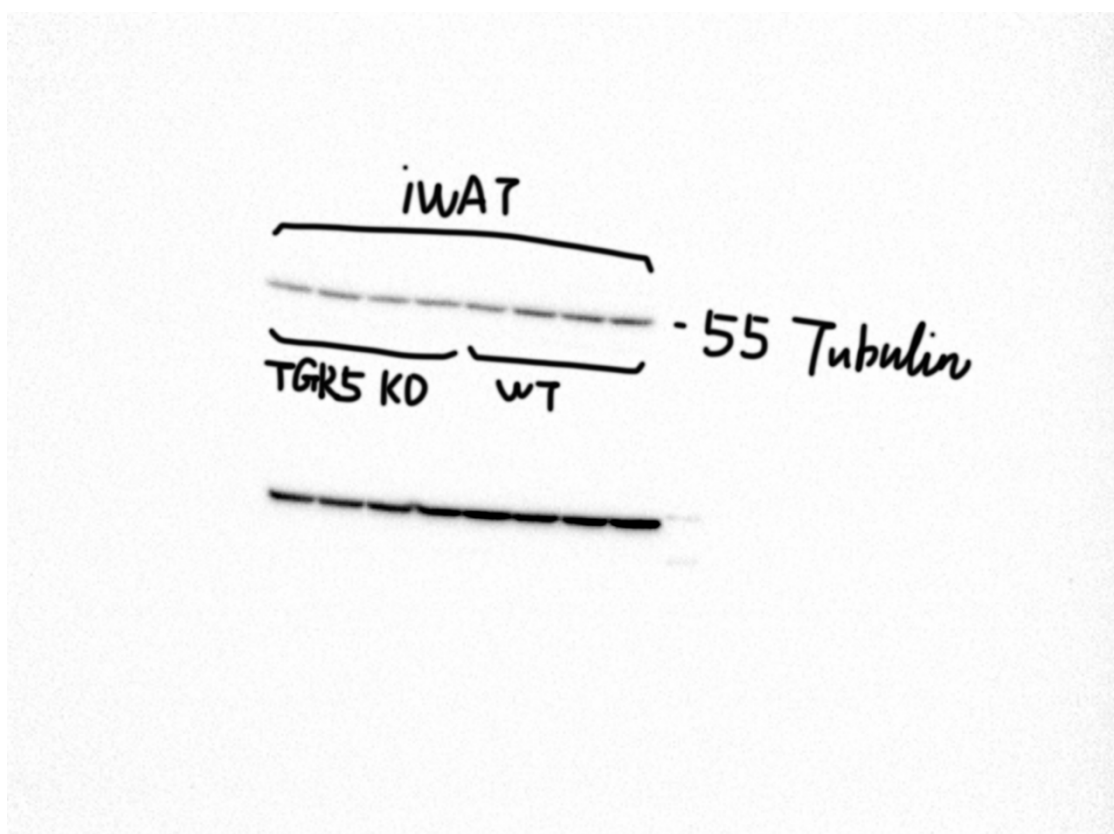
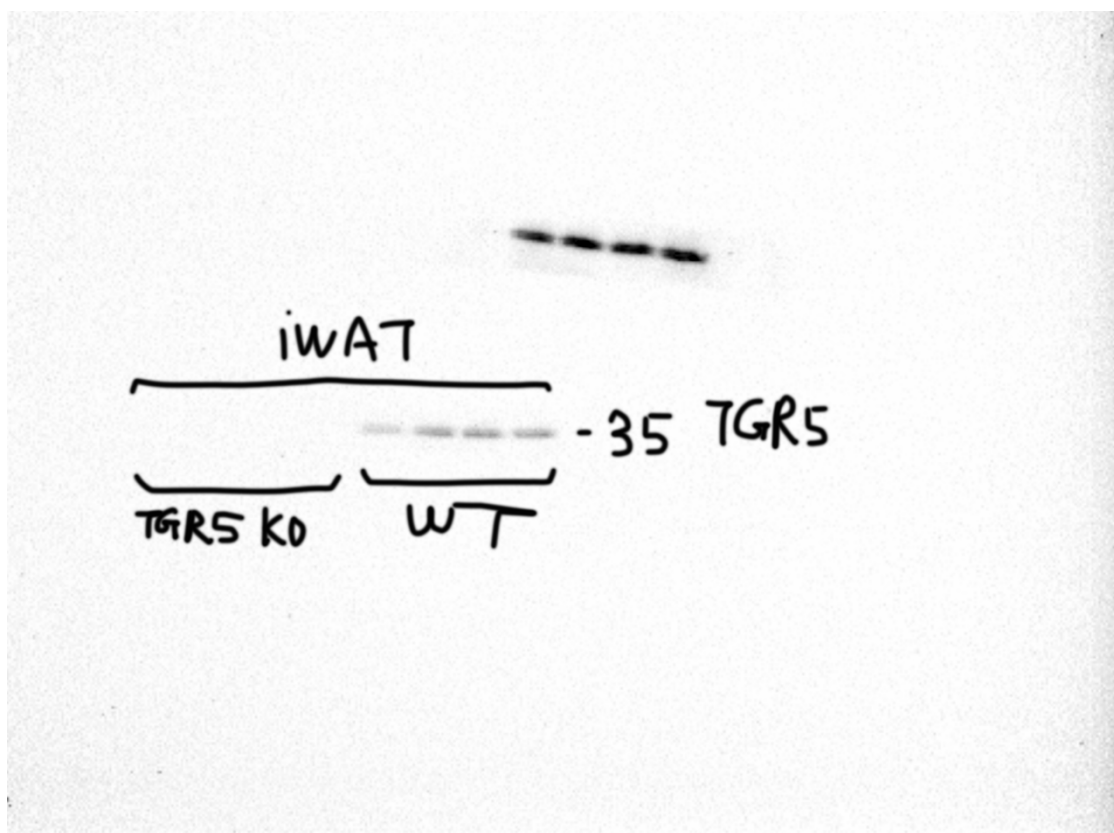


Fig. 6h

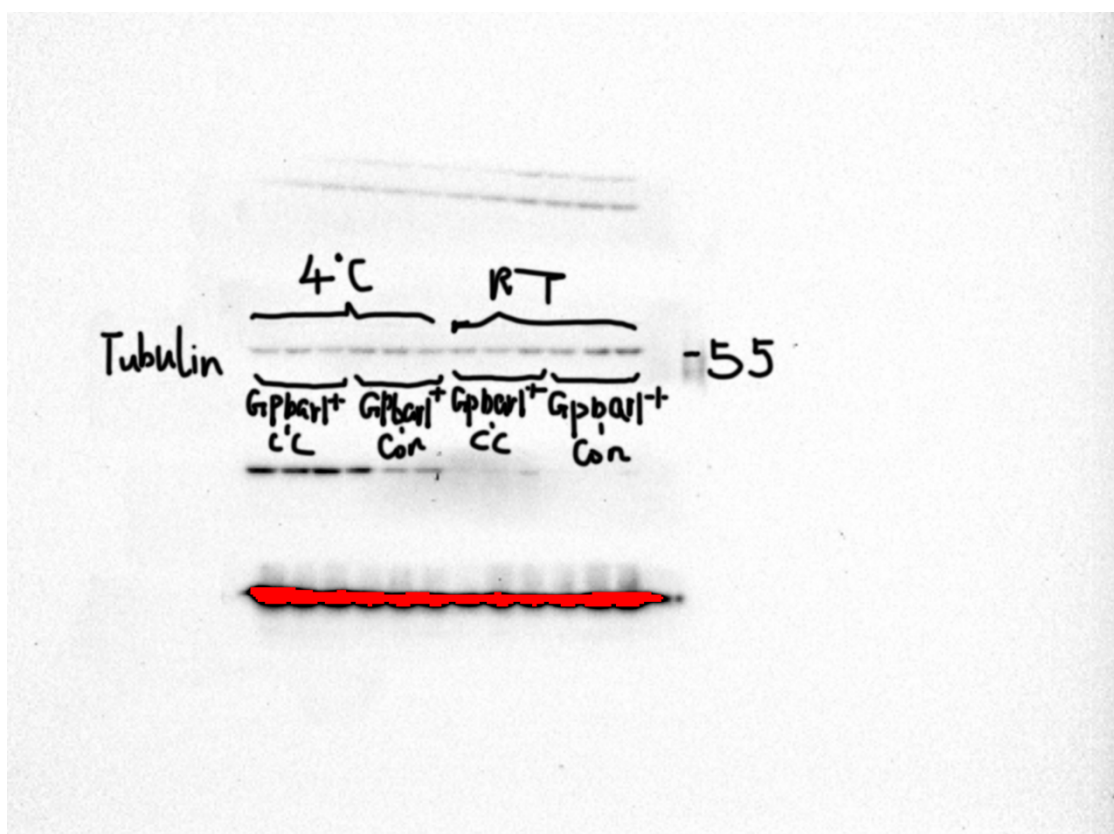
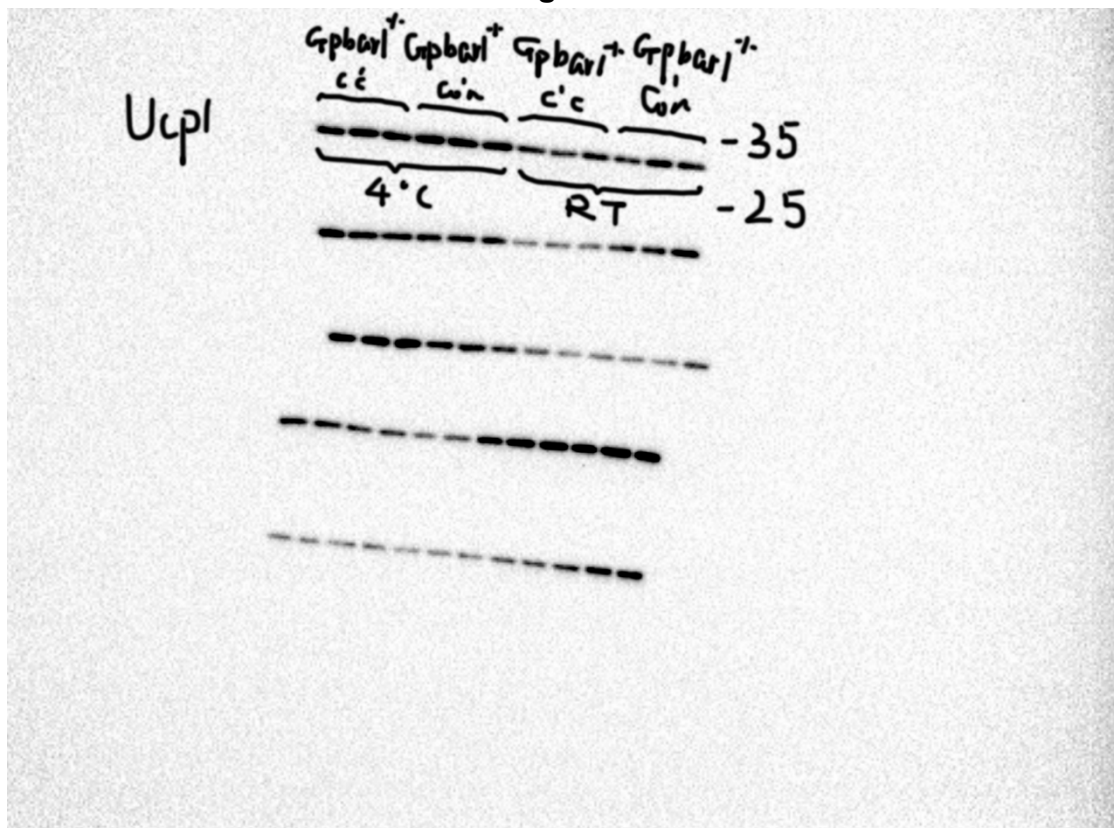


Fig. 6j

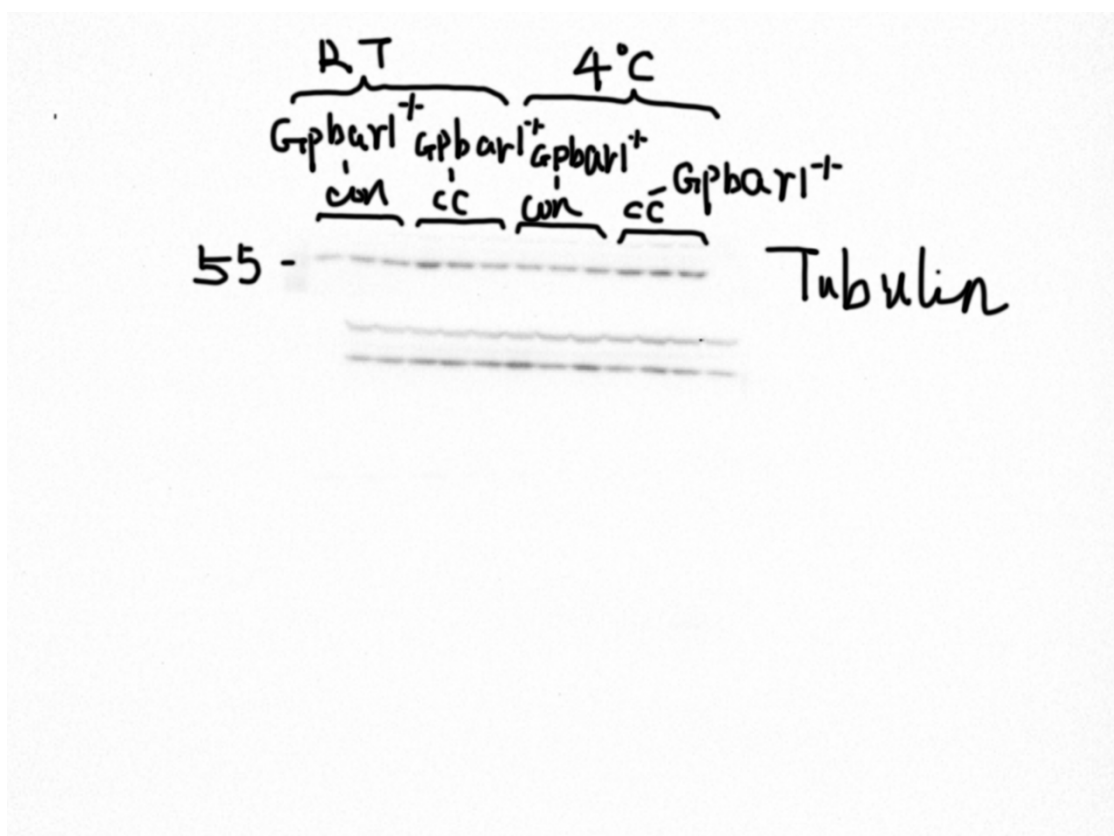
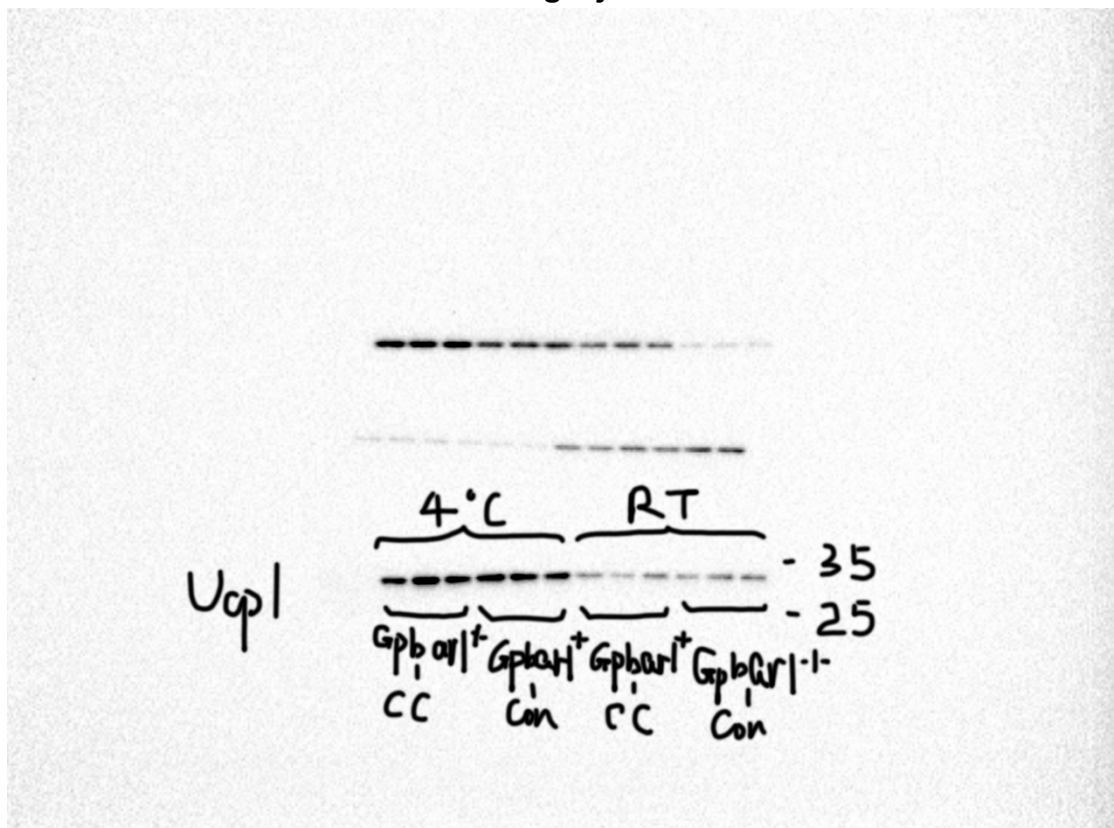
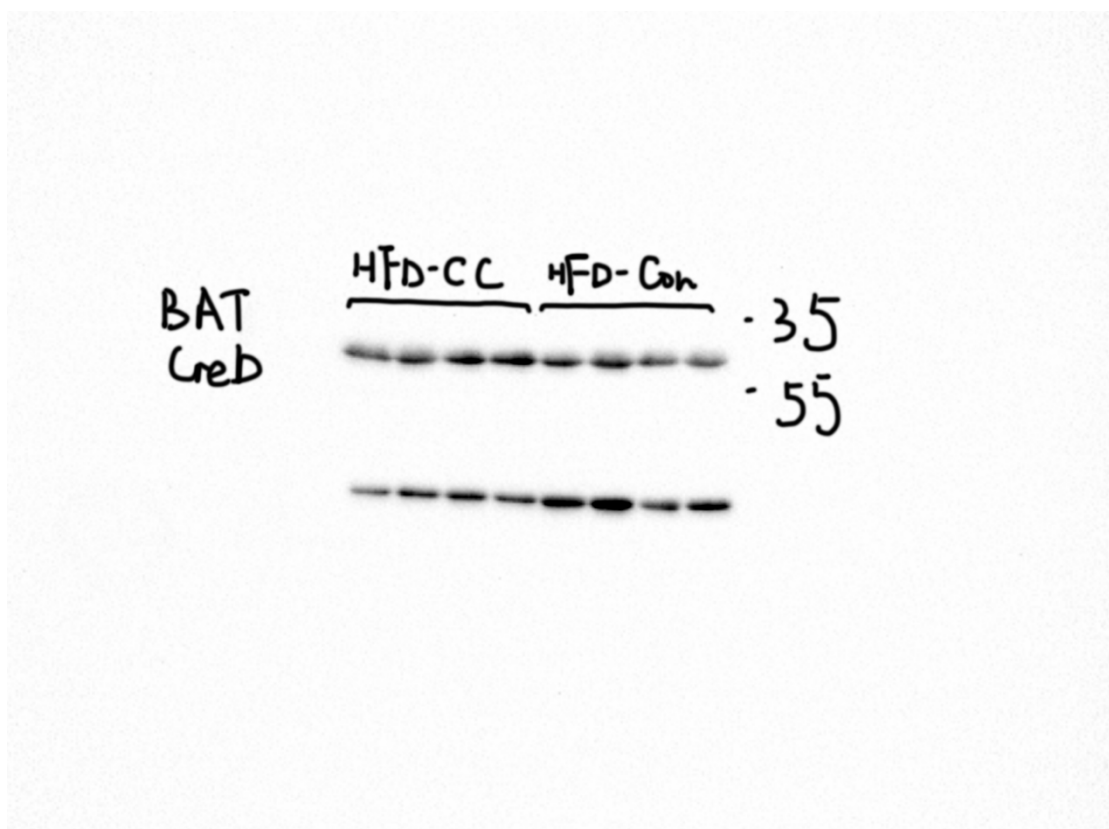
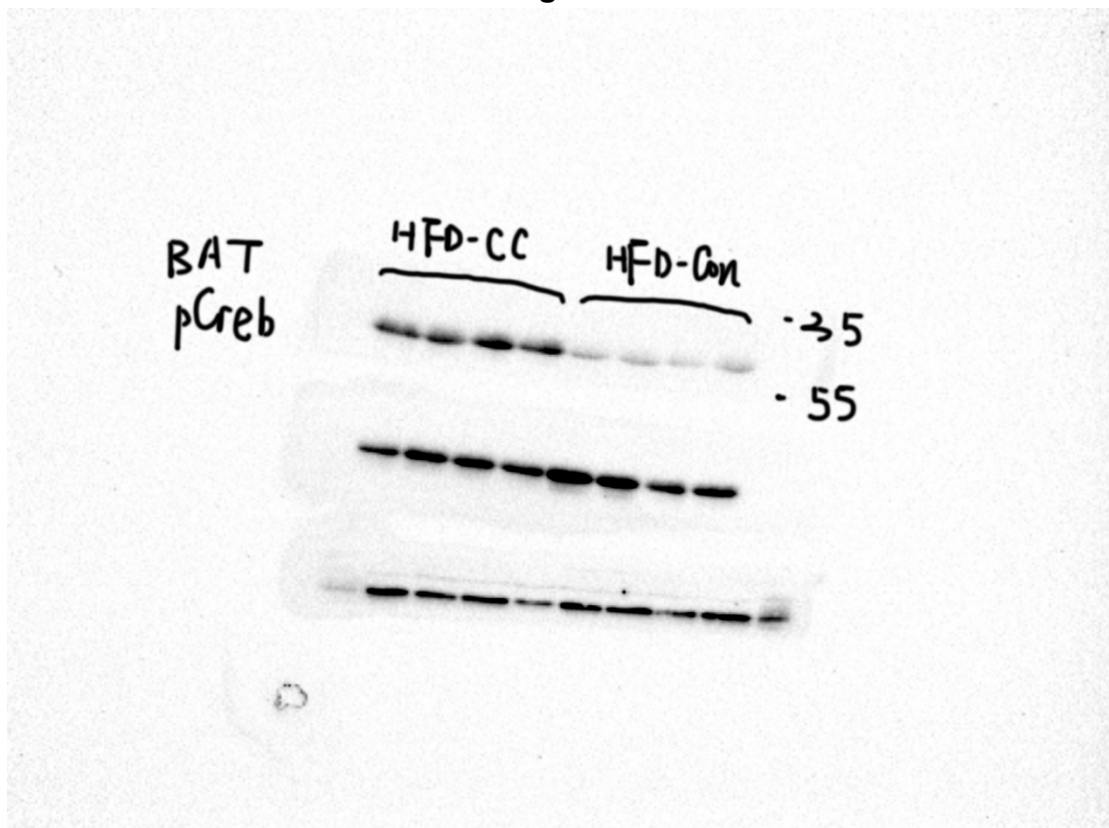


Fig. 7c



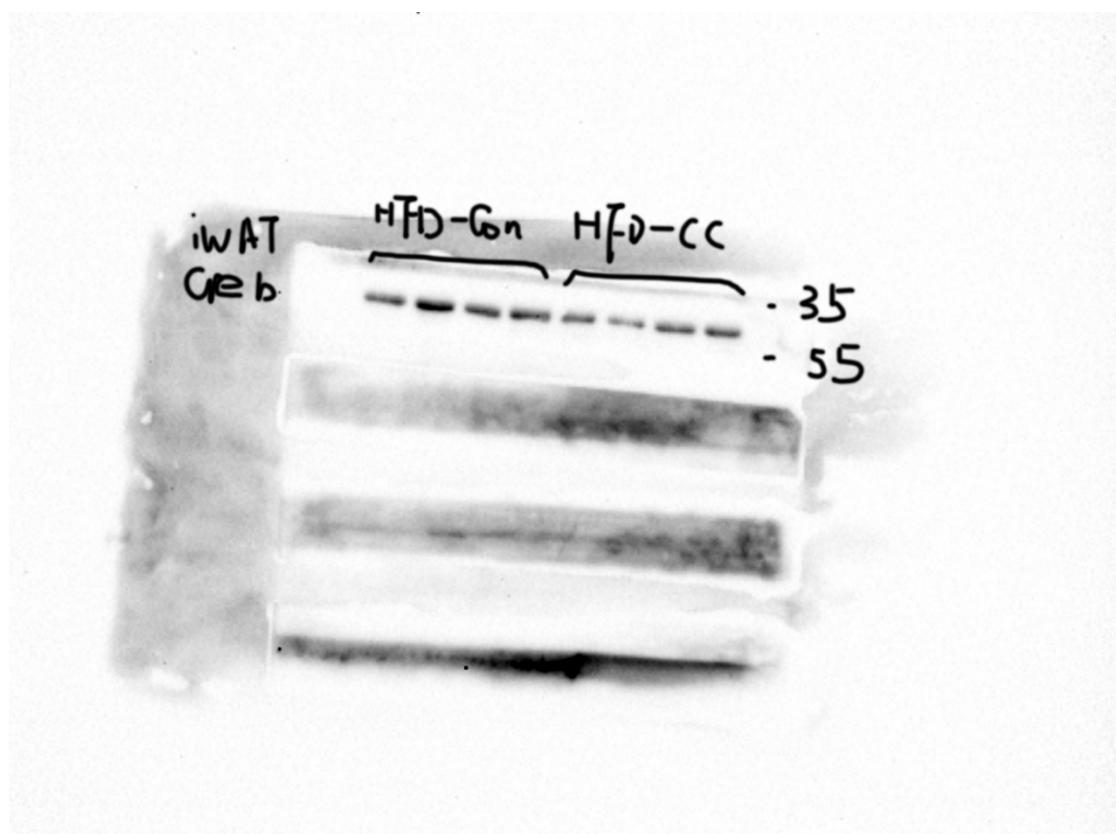
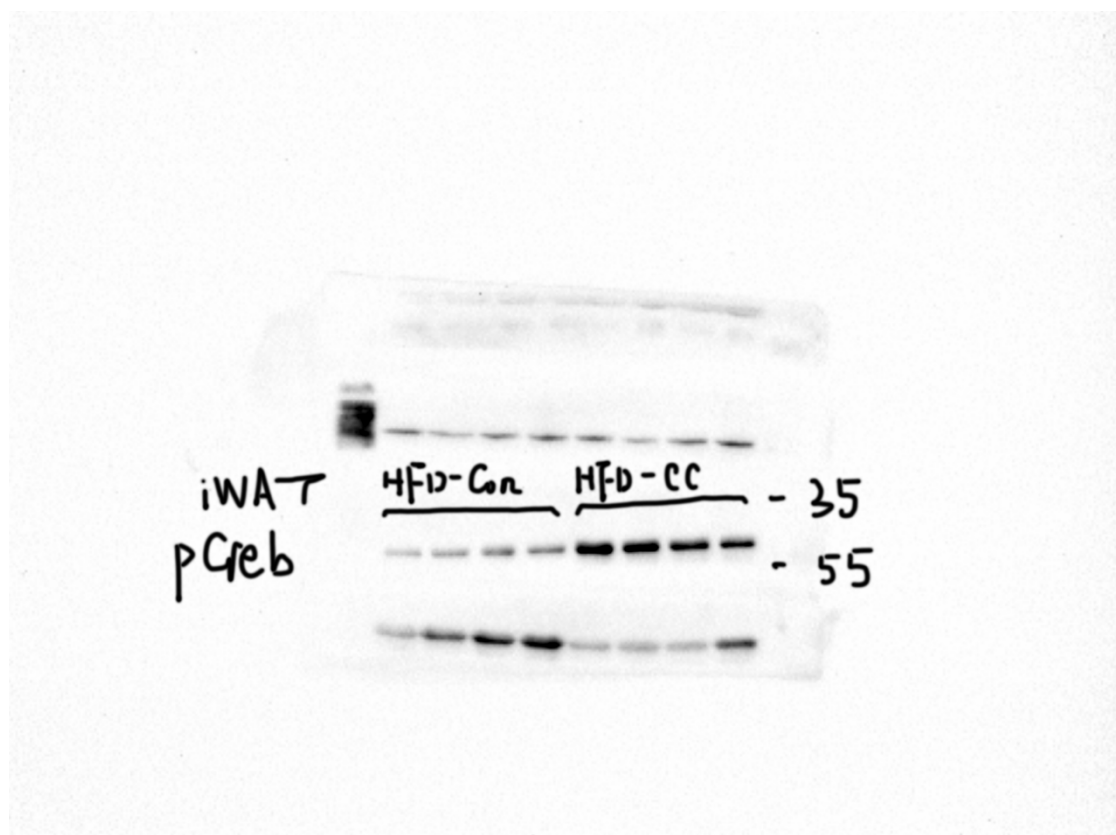
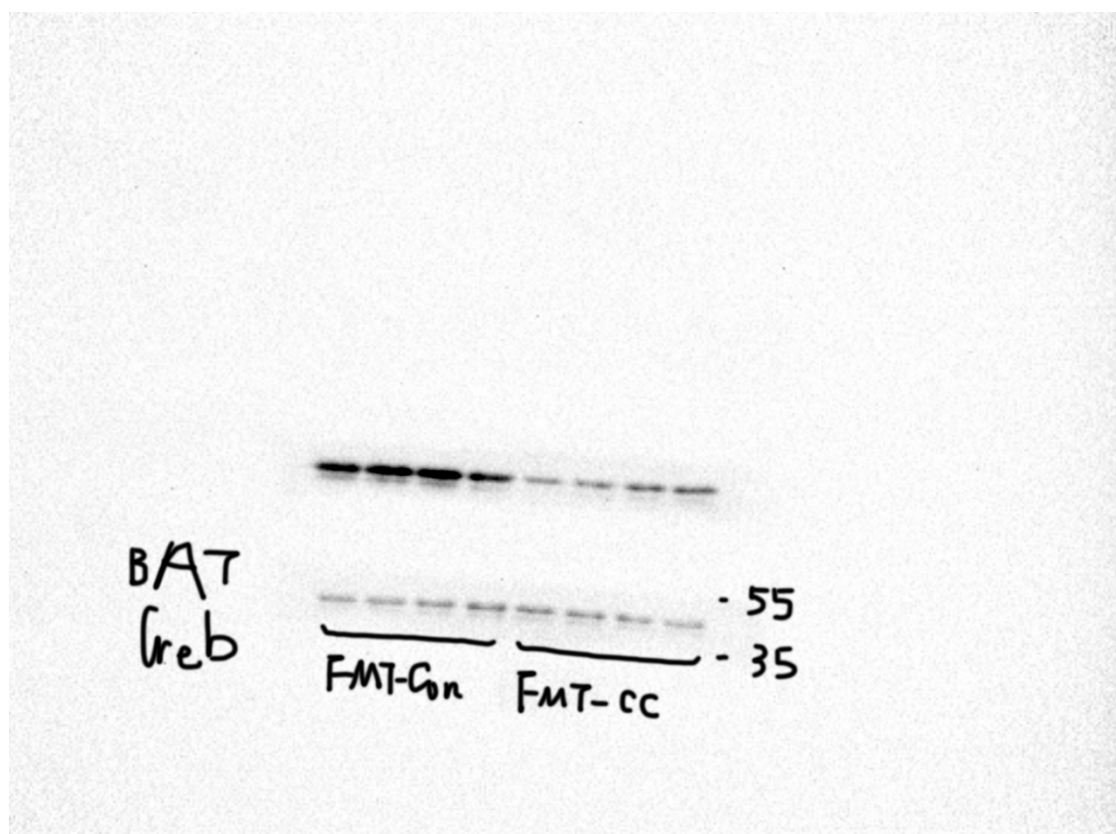
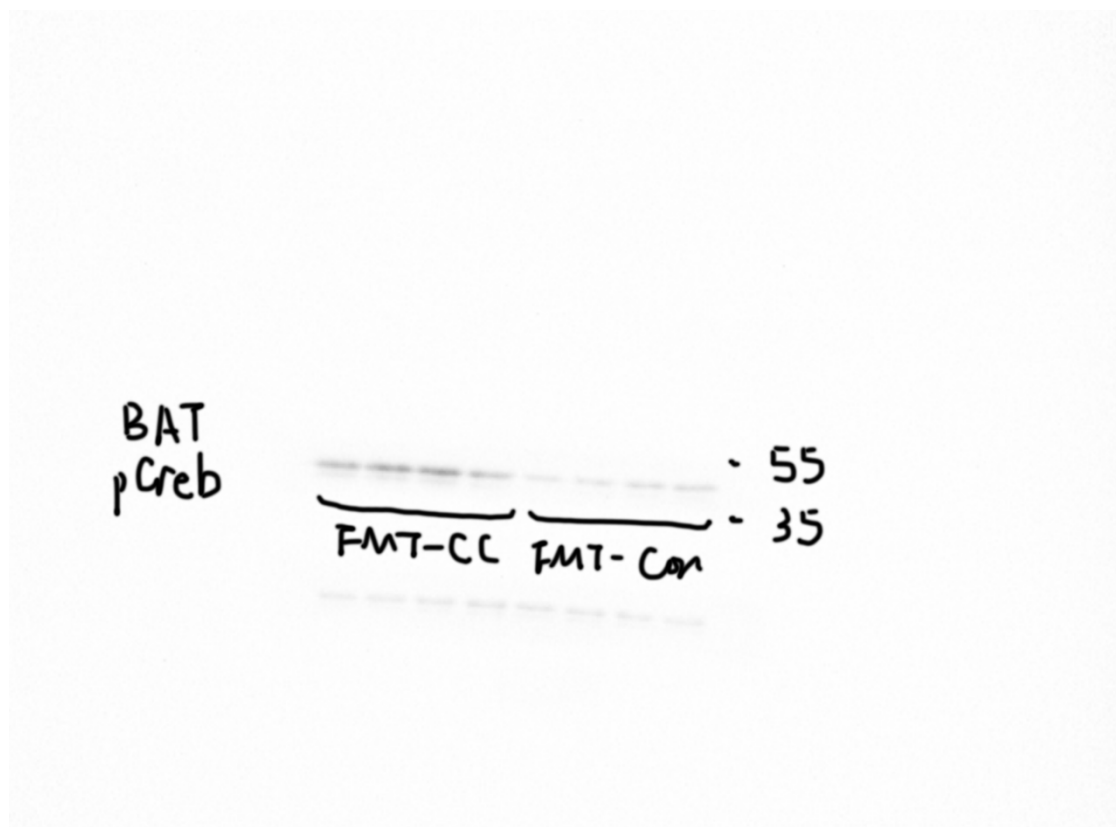
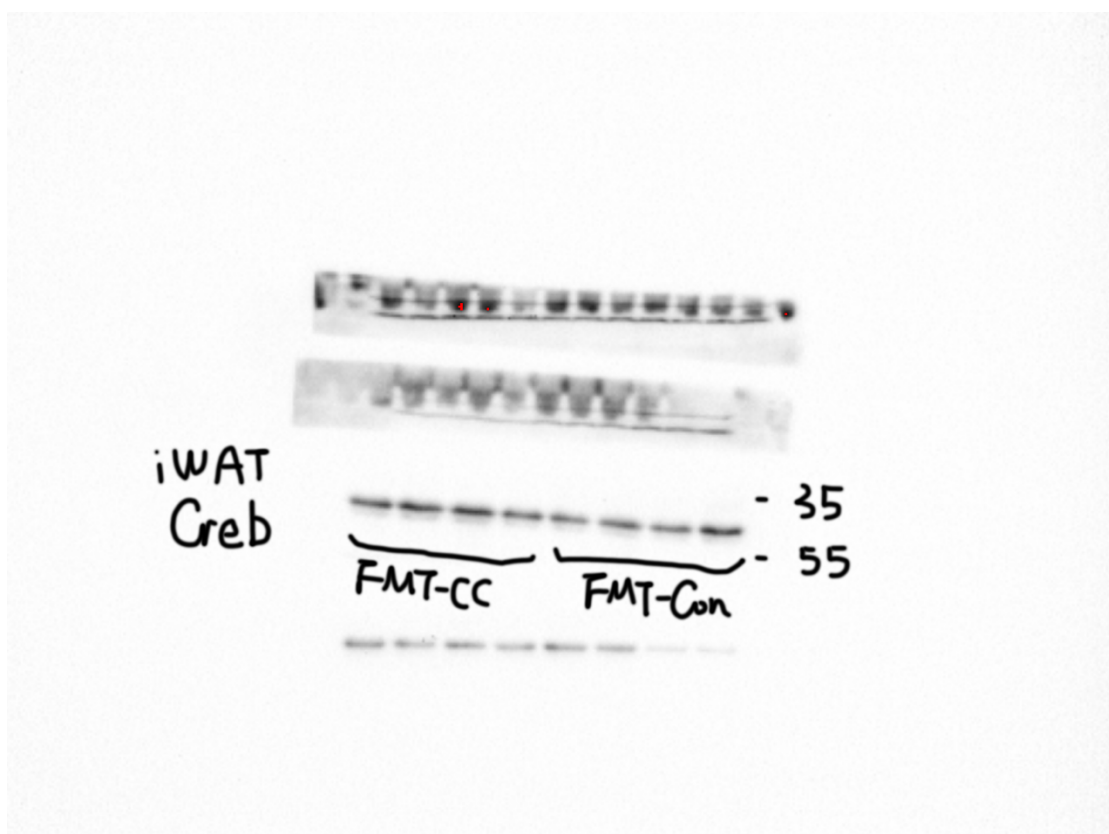
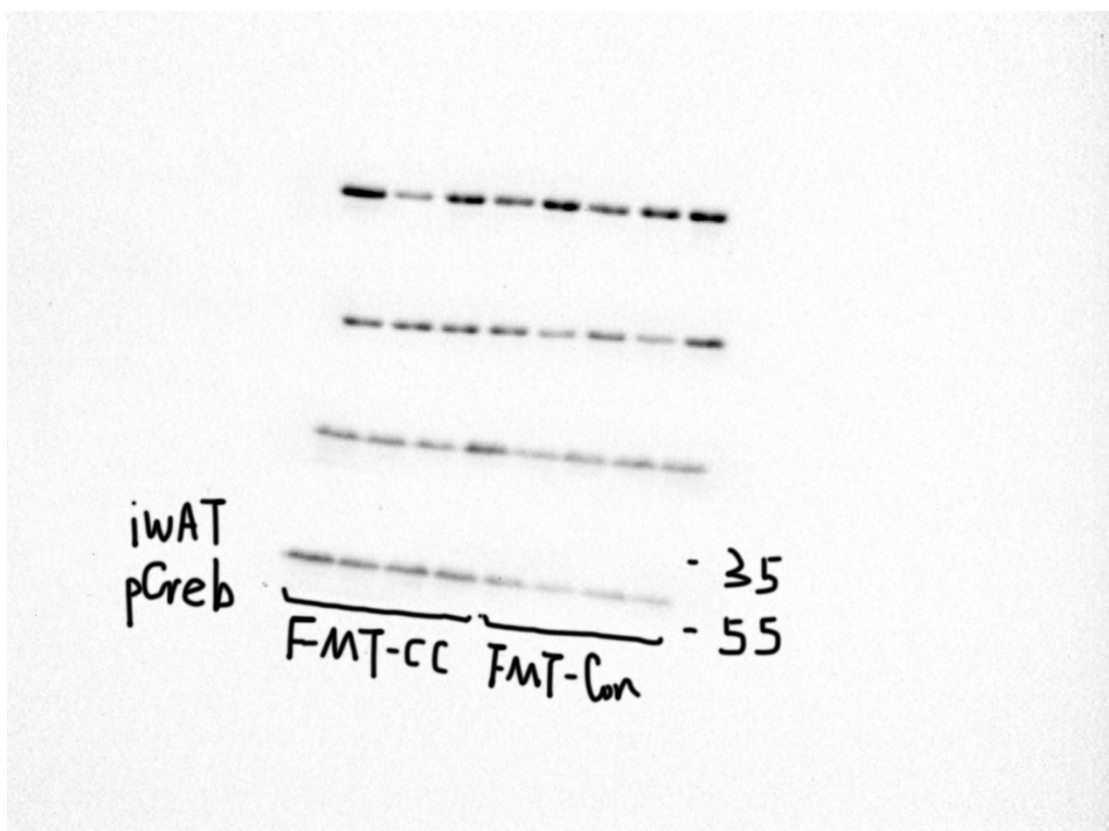


Fig. 7d





**Fig. 8b**

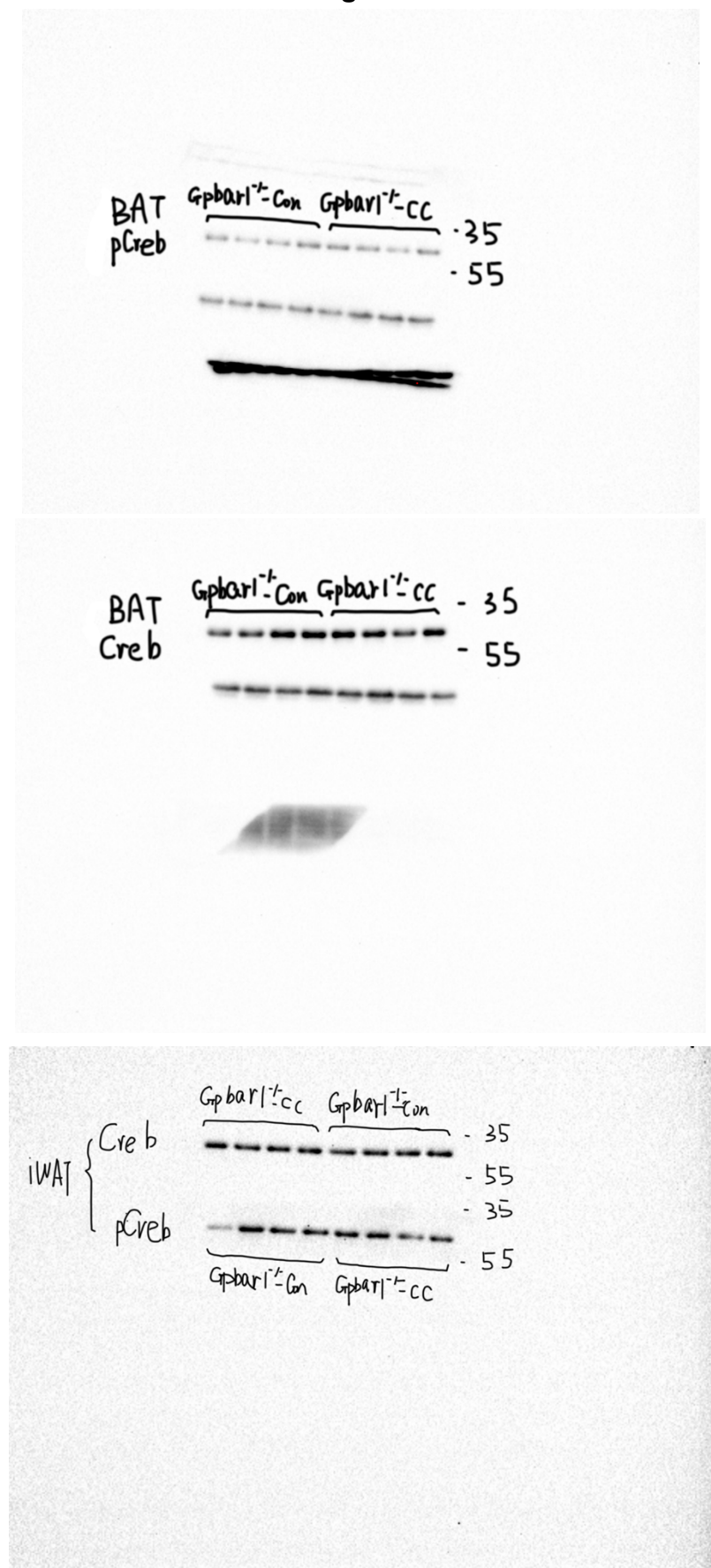


Fig. S6e

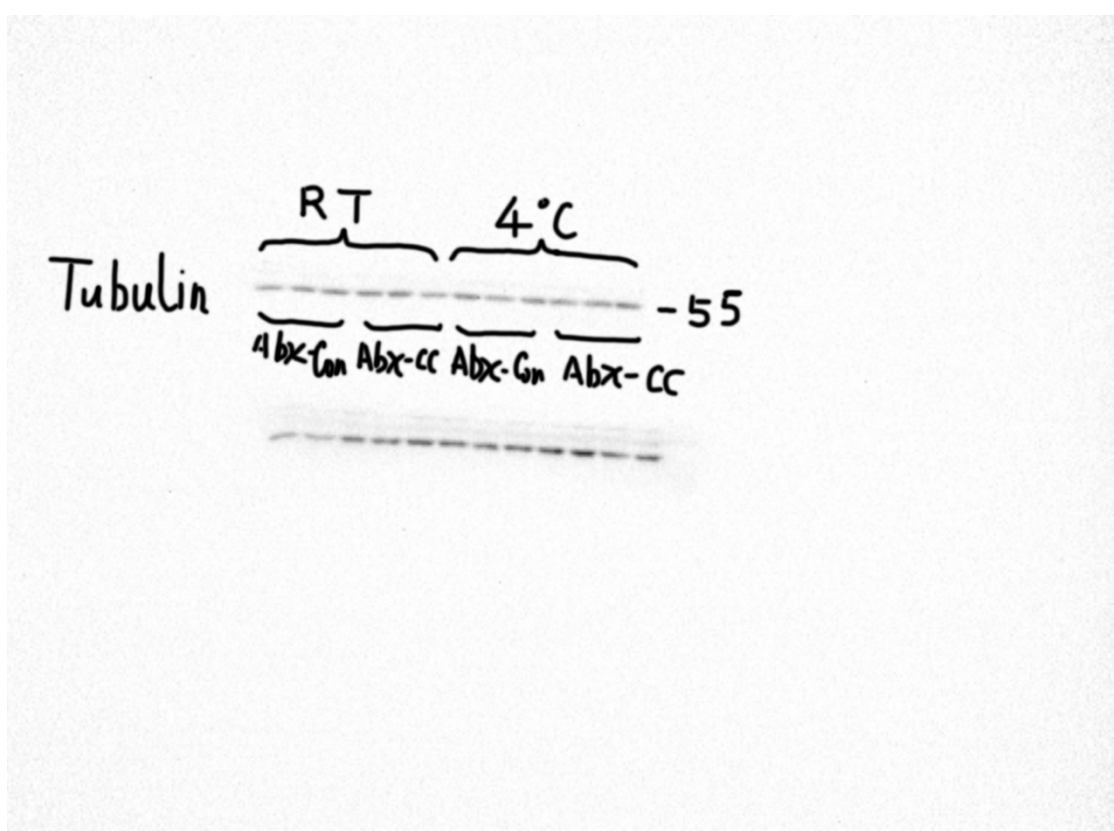
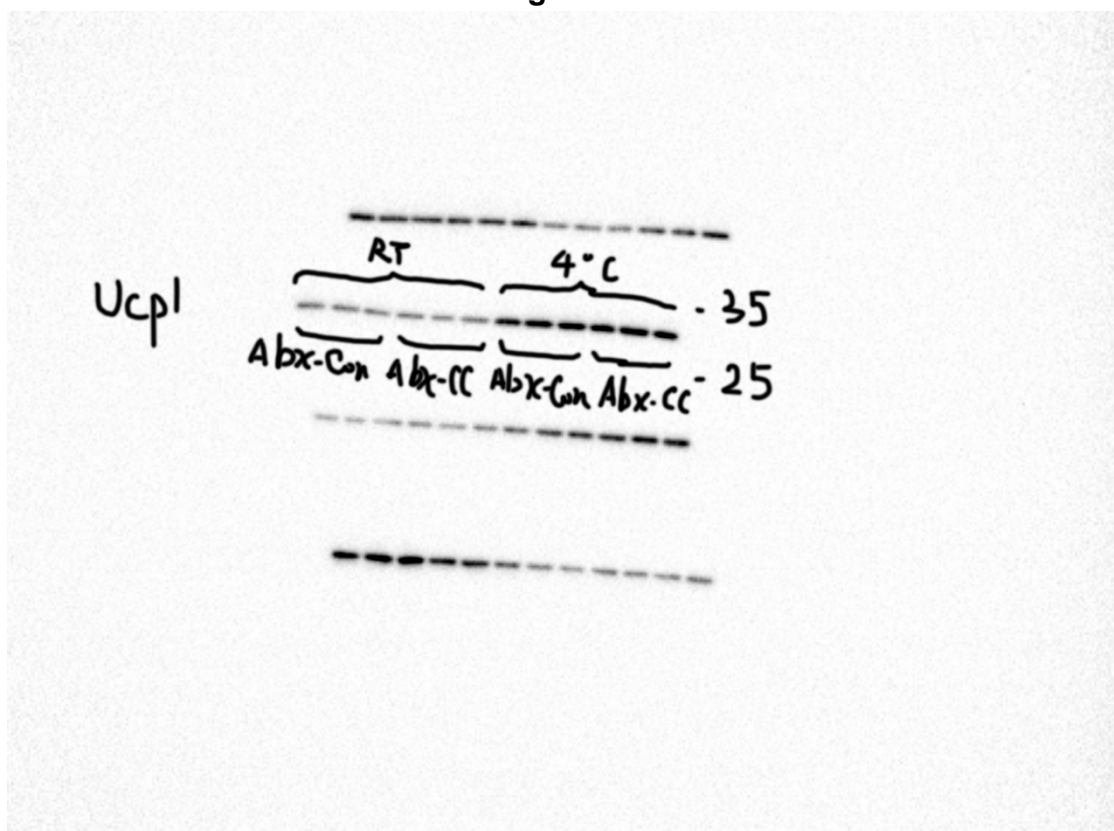


Fig. S6g

